



ИТОГИ НАУКИ И ТЕХНИКИ.  
Современная математика и ее приложения.  
Тематические обзоры.  
Том 231 (2023). С. 74–82  
DOI: 10.36535/2782-4438-2023-231-74-82

УДК 512.54, 517.958

УЧЕТ СИММЕТРИИ В МЕТОДЕ РИТЦА  
ДЛЯ УРАВНЕНИЯ ШРЁДИНГЕРА  
В КРИСТАЛЛАХ С БАЗИСОМ

© 2023 г. Н. Б. МЕЛЬНИКОВ, Б. И. РЕЗЕР

**Аннотация.** Работа посвящена учету симметрии в уравнении Шрёдингера с периодическим потенциалом для кристаллов с базисом. Представлен общий теоретико-групповой подход, который дает матричные элементы гамильтониана в приближении сильной связи, используя пространственную симметрию задачи, симметрию обращения времени и эрмитовость гамильтониана. Построенная математическая теория обобщает известный результат для кристаллов с двумя атомами в элементарной ячейке на случай кристаллов с несколькими атомами в элементарной ячейке.

**Ключевые слова:** уравнение Шрёдингера, периодический потенциал, метод Ритца, кристаллическая решетка, пространственная группа, теория представлений.

TREATMENT OF SYMMETRY IN THE RITZ METHOD  
FOR THE SCHRÖDINGER EQUATION  
IN CRYSTALS WITH A BASIS

© 2023 N. B. MELNIKOV, B. I. RESER

**ABSTRACT.** This paper is devoted to treatment of symmetry in the Schrödinger equation with a periodic potential for crystals with a basis. We present a general group-theoretical approach, which yields the matrix elements of the Hamiltonian in the tight-binding approximation, using the spatial symmetry of the problem, time reversal symmetry, and the Hermitian property of the Hamiltonian. The developed mathematical theory generalizes the well-known result for crystals with two atoms in the unit cell to the case of crystals with several atoms in the unit cell.

**Keywords and phrases:** Schrödinger equation, periodic potential, Ritz method, crystal lattice, space group, representation theory.

**AMS Subject Classification:** 20C35, 81Q05

**1. Введение.** Электронный спектр в кристаллах получается из уравнения Шрёдингера с периодическим потенциалом [1, 10]. Наиболее распространенным методом вычисления приближенного решения является метод Ритца, в котором решение аппроксимируется линейной комбинацией координатных функций. Метод Ритца, использующий в качестве координатных функций линейные комбинации атомных орбиталей, называется методом сильной связи.

Для кристаллов с двумя атомами в элементарной ячейке общий теоретико-групповой подход, который позволяет вычислять матричные элементы гамильтониана в методе сильной связи, был

---

Работа выполнена в рамках государственного задания Министерства науки и высшего образования Российской Федерации (тема «Электрон», номер госрегистрации 122021000039-4).





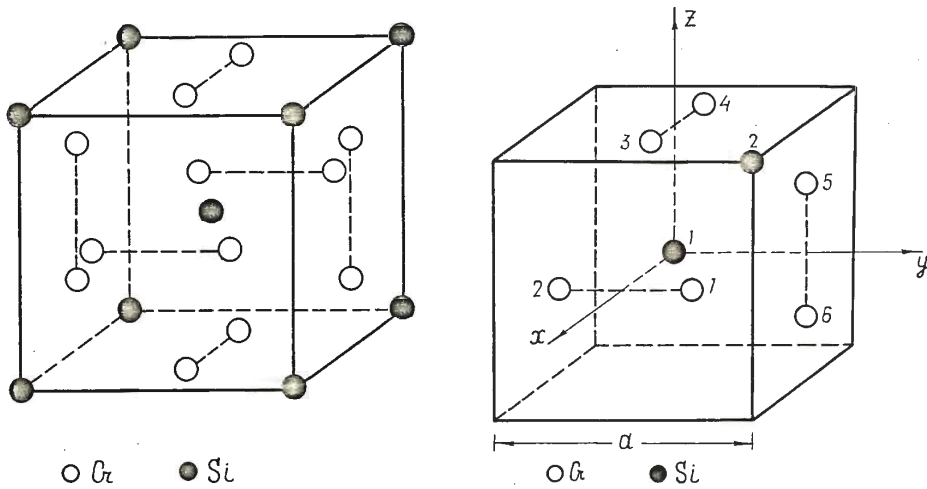


Рис. 1. Слева: кристаллическая структура типа Cr<sub>3</sub>Si. Справа: ячейка Вигнера—Зейтца; номерами  $s$  показаны базисные векторы  $\tau_s$  атомов Cr и Si.

где матричные элементы имеют вид

$$H_{\mu\nu} = \int_{\Omega_{WS}} \chi_{\mu}^{*} \mathcal{H} \chi_{\nu} d\mathbf{r}, \quad S_{\mu\nu} = \int_{\Omega_{WS}} \chi_{\mu}^{*} \chi_{\nu} d\mathbf{r}.$$

Значения энергии  $\varepsilon$  находятся из обобщенной задачи на собственные значения

$$\det(H - \varepsilon S) = 0.$$

*Методом сильной связи* называют метод Ритца, использующий в качестве координатных функций  $\chi_{\mu}$  блоховские суммы

$$\frac{1}{\sqrt{N}} \sum_n e^{i\mathbf{k}(\mathbf{R}_n + \boldsymbol{\tau}_s)} \varphi(\mathbf{r} - \mathbf{R}_n - \boldsymbol{\tau}_s). \quad (5)$$

Здесь  $N$  — общее количество элементарных ячеек в кристалле,  $\boldsymbol{\tau}_s$  — базисный вектор, характеризующий положение атома в элементарной ячейке, а  $\varphi$  — решение уравнения Шрёдингера с центрально-симметричным потенциалом (атомная орбиталь). Тогда блоховская сумма (5) — это линейная комбинация атомных орбиталей, центрированных на атомах в кристалле,  $\varphi(\mathbf{r} - \mathbf{R}_n - \boldsymbol{\tau}_s)$ .

Как известно [2, 11], атомные орбитали имеют вид

$$\varphi_{nlm}(\mathbf{r}) = R_{nl}(r) Y_{lm}(\theta, \varphi),$$

где радиальная функция  $R_{nl}(r)$  зависит только от модуля радиус-вектора  $\mathbf{r}$ , а сферическая функция

$$Y_{lm}(\theta, \varphi), \quad l = 0, 1, \dots, (n-1), \quad m = -l, \dots, -1, 0, 1, \dots, l,$$

зависит только от углов  $\theta$  и  $\varphi$  (и не зависит от явного вида атомного потенциала). Индексы  $n, l, m$  называются квантовыми числами. Главное квантовое число  $n$  принимает значения 0, 1, 2, ... . Азимутальное квантовое число  $l$  традиционно заменяют буквой: s ( $l = 0$ ), p ( $l = 1$ ), d ( $l = 2$ ) и т. д. Скажем, атомную орбиталь, отвечающую квантовым числам  $n = 3$  и  $l = 0$ , называют 3s-орбиталью,  $n = 4$  и  $l = 1$  — 4p-орбиталью, а  $n = 5$  и  $l = 2$  — 5d-орбиталью.

Кристалл с базисом определяется решеткой (совокупностью узлов решетки  $\mathbf{R}_n$ ) и набором атомных позиций (базисных векторов  $\boldsymbol{\tau}_s$ ) в элементарной ячейке Вигнера—Зейтца. Для примера на рис. 1 слева изображена кристаллическая структура типа Cr<sub>3</sub>Si (подробнее см. [8]). Атомы кремния Si расположены в центре и вершинах куба, а атомы хрома Cr расположены попарно на гранях куба. Поскольку противоположные грани ячейки Вигнера—Зейтца отождествляются, достаточно указать позиции  $\boldsymbol{\tau}_s$  лишь восьми атомов в ячейке Вигнера—Зейтца, как показано на рис. 1 справа. Все остальные атомы в кристалле будут иметь вид  $\mathbf{R}_n + \boldsymbol{\tau}_s$ .





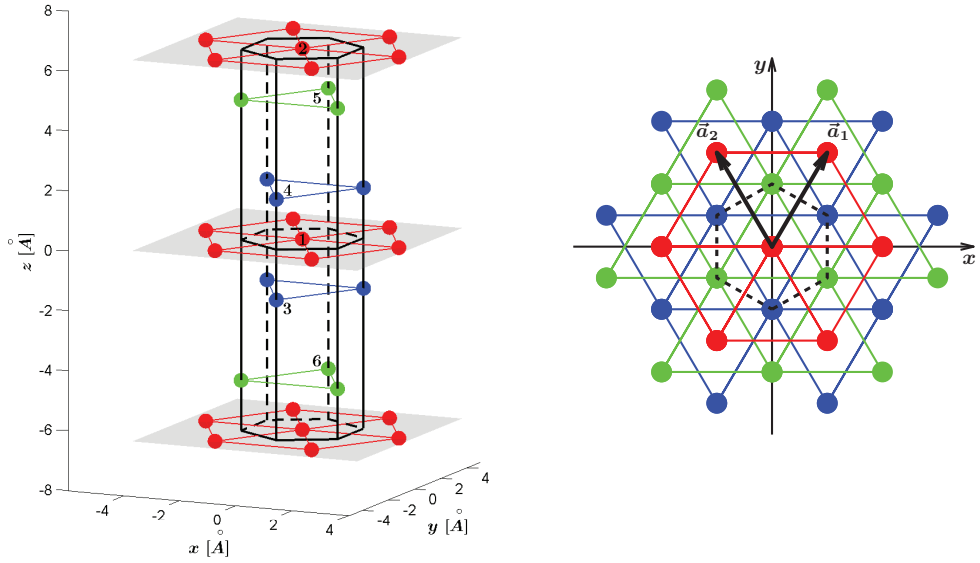


Рис. 2. Слева: кристаллическая структура: атомы Та (красные), атомы Se — близкие к  $z = 0$  (синие) и близкие к соседним слоям Та (зеленые). Номерами обозначены позиции  $\tau_s$  шести атомов в ячейке Вигнера—Зейтца, которая ограничена шестиугольной призмой. Справа: проекция кристаллической структуры  $2H\text{-TaSe}_2$  вдоль оси  $z$ .

Для  $p$ -й координационной сферы выбираем такой набор векторов  $\mathbf{Q}_p^l$ , что любой вектор координационной сферы преобразуется в вектор этого набора преобразованием  $\alpha \equiv \{\alpha | 0\}$  из  $G'_0$ :

$$\exists \alpha \in G'_0 : \quad \alpha(\mathbf{R}_n + \boldsymbol{\tau}_{s'}) = \mathbf{Q}_p^l. \quad (10)$$

Может существовать несколько  $\alpha$  из  $G'_0$ , которые переводят заданный вектор  $\mathbf{R}_n + \boldsymbol{\tau}_{s'}$  в  $\mathbf{Q}_p^l$ ; достаточно взять один из них. В результате

$$\left( \Phi_\mu^{sj}, \mathcal{H} \Phi_{\mu'}^{s'j'} \right) = e^{-ik\boldsymbol{\tau}_s} \sum_p \sum_l \sum_\alpha e^{i\mathbf{k}\alpha^{-1}\mathbf{Q}_p^l} I_{\mu\mu'}^{jj'}(\boldsymbol{\tau}_s; \alpha^{-1}\mathbf{Q}_p^l).$$

Пусть  $P_{\{\alpha|0\}}$  — оператор симметрии, где  $\alpha$  — элемент  $G'_0$ . Поскольку оператор  $P_{\{\alpha|0\}}$  унитарный и коммутирует с  $\mathcal{H}$ , имеем

$$\begin{aligned} I_{\mu\mu'}^{jj'}(\boldsymbol{\tau}_s; \mathbf{R}_n + \boldsymbol{\tau}_{s'}) &= \int [P_{\{\varepsilon|\alpha\boldsymbol{\tau}_s\}} P_{\{\alpha|0\}} \varphi_\mu^j(\mathbf{r})]^* \mathcal{H} \left[ P_{\{\varepsilon|\alpha\mathbf{R}_n+\alpha\boldsymbol{\tau}_{s'}\}} P_{\{\alpha|0\}} \varphi_{\mu'}^{j'}(\mathbf{r}) \right] d\mathbf{r} \\ &= \sum_{\nu\nu'} D_{\nu\mu}^{j*}(\alpha) D_{\nu'\mu'}^{j'}(\alpha) I_{\nu\nu'}^{jj'}(\alpha\boldsymbol{\tau}_s; \alpha(\mathbf{R}_n + \boldsymbol{\tau}_{s'})). \end{aligned}$$

С учетом (10) и унитарности  $\alpha$  получим окончательное выражение для матричного элемента:

$$\left( \Phi_\mu^{sj}, \mathcal{H} \Phi_{\mu'}^{s'j'} \right) = e^{-ik\boldsymbol{\tau}_s} \sum_p \sum_l \sum_{\nu\nu'} \left[ \sum_\alpha e^{i\alpha\mathbf{k}\mathbf{Q}_p^l} D_{\nu\mu}^{j*}(\alpha) D_{\nu'\mu'}^{j'}(\alpha) I_{\nu\nu'}^{jj'}(\alpha\boldsymbol{\tau}_s; \mathbf{Q}_p^l) \right]. \quad (11)$$

На практике обычно берется несколько первых координационных сфер: ближайшие соседи, вторые соседи и т. д.

**4. Пример приложения метода.** В качестве примера приложения метода учета симметрии рассмотрим квазидвумерный диселенид тантала  $2H\text{-TaSe}_2$  (подробнее см. [9]). Кристаллическая структура этого диселенида изображена на рис. 2. Ячейка Вигнера—Зейтца содержит шесть атомов.

Зона Бриллюэна обратной решетки и точки высокой симметрии изображены на рис. 3 слева. На рис. 3 справа изображен энергетический спектр  $\varepsilon(\mathbf{k})$ , рассчитанный для  $\mathbf{k}$  вдоль сторон

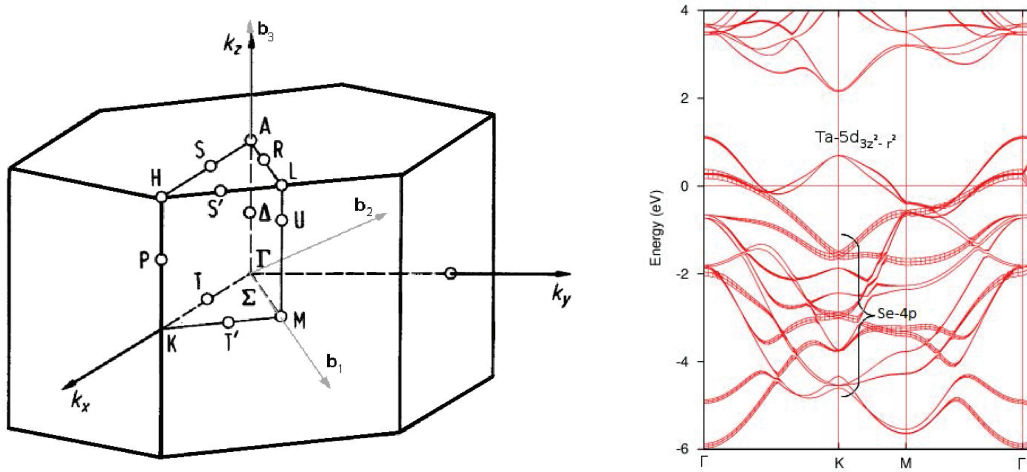


Рис. 3. Слева: зона Бриллюэна и точки высокой симметрии. Справа: Энергетические полосы  $2H\text{-TaSe}_2$ , полученные в приближении локальной плотности. Толщина линии показывает вклад  $4p_z$ -орбитали в соответствующую полосу.

треугольника с вершинами в точках высокой симметрии ГКМ в плоскости  $z = 0$ , которая исследуется в связи с экспериментом (подробнее см. [8, 9]). Наибольший интерес представляют две  $5d_{3z^2-r^2}$ -орбитали, соответствующие двум атомам Та в элементарной ячейке, и четыре  $4p_z$ -орбитали, соответствующие четырем атомам Se в элементарной ячейке.

Блоховские суммы, построенные на выбранных атомных орбиталях, рассматриваем как набор координатных функций в методе сильной связи для построения матричных элементов гамильтониана. Соответствующие неприводимые представления группы  $G'_0$ :  $j = 1$  для  $5d_{3z^2-r^2}$ -орбиталей Та и  $j = 4$  для  $4p_z$ -орбиталей Se, в этом случае одномерны, поэтому индекс  $\mu$  в блоховской сумме (6) опускаем. Эффективный гамильтониан, построенный на этих функциях, будет матрицей размера  $6 \times 6$ . Для краткости блоховские суммы  $\Phi^{11}$  и  $\Phi^{21}$  двух атомов Та и  $\Phi^{34}$ ,  $\Phi^{44}$ ,  $\Phi^{54}$  и  $\Phi^{64}$  четырех атомов Se обозначаем  $\Phi_1, \dots, \Phi_6$ . Используя соотношения симметрии (7) и (9), имеем

$$\begin{pmatrix} H_{11} & H_{12} & H_{13} & H_{14} & H_{15} & H_{16} \\ H_{12}^* & H_{11} & -H_{16}^* & -H_{15}^* & -H_{14}^* & -H_{13}^* \\ H_{13}^* & -H_{16} & H_{33} & H_{34} & H_{35} & H_{36} \\ H_{14}^* & -H_{15} & H_{34}^* & H_{44} & H_{45} & H_{35} \\ H_{15}^* & -H_{14} & H_{35}^* & H_{45}^* & H_{44} & H_{34} \\ H_{16}^* & -H_{13} & H_{36}^* & H_{35}^* & H_{34}^* & H_{33} \end{pmatrix}, \quad (12)$$

где диагональные элементы матрицы  $H_{11}$ ,  $H_{33}$ ,  $H_{44}$  вещественны. Ограничав гамильтониан (12) на плоскость  $z = 0$  в  $\mathbf{k}$ -пространстве, получаем

$$\begin{pmatrix} H_{11} & H_{12} & 0 & 0 & 0 & 0 \\ H_{12} & H_{11} & 0 & 0 & 0 & 0 \\ 0 & 0 & H_{33} & H_{34} & H_{35} & H_{36} \\ 0 & 0 & H_{34}^* & H_{44} & H_{45} & H_{35} \\ 0 & 0 & H_{35}^* & H_{45}^* & H_{44} & H_{34} \\ 0 & 0 & H_{36}^* & H_{35}^* & H_{34}^* & H_{33} \end{pmatrix}.$$

Блочный вид гамильтониана указывает на отсутствие взаимодействия между  $5d_{3z^2-r^2}$ -орбиталями Та и  $4p_z$ -орбиталями Se. Явные выражения для матричных элементов, полученные с помощью формулы (11), приведены в [9]. Полученный аналитический вид матричных элементов гамильтониана  $2H\text{-TaSe}_2$  можно использовать для любого другого соединения, имеющего такую же структуру [7].

### СПИСОК ЛИТЕРАТУРЫ

1. *Джонс Г.* Теория зон Бриллюэна и электронные состояния в кристаллах. — М.: Мир, 1968.
2. *Ландау Л. Д., Лифшиц Е. М.* Теоретическая физика. Квантовая механика (нерелятивистская теория). — М.: Наука, 1989.
3. *Callaway J.* Quantum Theory of the Solid State. — New York: Academic, 1991.
4. *Egorov R. F., Reser B. I., Shirokovskii V. P.* Consistent treatment of symmetry in the tight binding approximation// Phys. Stat. Sol. — 1968. — 26, № 2. — P. 391–408.
5. *Fletcher G. C.* The Electron Band Theory of Solids. — Amsterdam: North-Holland, 1971.
6. *Hergert W., Geilhufe R. M.* Group Theory in Solid State Physics and Photonics. — New York: Wiley, 2018.
7. *Katzke H., Tolédano P., Depmeier W.* Phase transitions between polytypes and intralayer superstructures in transition metal dichalcogenides// Phys. Rev. B. — 2004. — 69. — 134111.
8. *Melnikov N. B., Reser B. I.* Space Group Representations: Theory, Tables and Applications. — Berlin: Springer, 2023.
9. *Melnikov N. B., Reser B. I.* Treatment of symmetry in the tight-binding method for crystals with several atoms per unit cell// Phys. Scr. — 2023. — 98. — 065952.
10. *Raiems S.* The Wave Mechanics of Electrons in Metals. — Amsterdam: North-Holland, 1963.
11. *Schiff L.* Quantum Mechanics. — New York: McGraw-Hill, 1968.
12. *Zhang Z., Yu Z.-M., Liu G.-B., Yao Y.* MagneticTB: A package for tight-binding model of magnetic and non-magnetic materials// Comput. Phys. Commun. — 2022. — 270. — 108153.

### ДЕКЛАРАЦИЯ АВТОРОВ

**Конфликт интересов.** Авторы заявляют об отсутствии конфликта интересов.

**Финансирование.** Работа выполнена в рамках государственного задания Министерства науки и высшего образования Российской Федерации (тема «Электрон», номер госрегистрации 122021000039-4).

**Финансовые интересы.** Авторы заявляют об отсутствии подлежащих раскрытию финансовых или нефинансовых интересов, связанных с публикуемым материалом.

Мельников Николай Борисович

Московский государственный университет им. М. В. Ломоносова

E-mail: [melnikov@cs.msu.ru](mailto:melnikov@cs.msu.ru)

Резер Борис Ильич

Институт физики металлов им. М. Н. Михеева

Уральского отделения РАН, Екатеринбург

E-mail: [reser@imp.uran.ru](mailto:reser@imp.uran.ru)